

บทที่ 5
สรุป และ วิเคราะห์ผลการทดลอง

5.1 ลักษณะและขนาดของวิสเกอร์

จากการทดลองในงานวิจัยนี้พบว่าสามารถเตรียมวิสเกอร์ MoO_3 ได้โดยวิธี growth from vapor phase ที่อุณหภูมิ 750°C ได้ในเตาเพาไฟฟ้าแบบท่อแนวนอน วิสเกอร์จะออกอกรากจากผังของท่อเตาโดยการควบแน่น ไอของ MoO_3 ให้เป็นผลึกเดี่ยวในลักษณะแผ่นบางยาวมีทิศทางแกน c ของผลึกอยู่ต่ำんทางยาว⁽²⁾ มีทิศทางแกน a อยู่ต่ำนทางกว้าง และ มีทิศแกน b อยู่ต่ำนทางหนา บริเวณผังท่อเตาที่เก็บวิสเกอร์มีอุณหภูมิประมาณ 700°C ทั้ง 2 ด้านสอดคล้องกับอุณหภูมิจุดระเหิดของ MoO_3 ⁽²²⁾ และคงว่าวิสเกอร์เกิดจากกระบวนการ growth from vapor

ขนาดของวิสเกอร์ที่เตรียมได้โดยเฉลี่ยจะมีความกว้าง 0.1-1.5 mm ความยาว 2.0-50.0 mm และความหนา 3.0-15.0 μm

ตารางที่ 5.1 แสดงการเปรียบเทียบขนาดของวิสเกอร์หรือผลึกเดี่ยวของ MoO_3 ที่ได้จากการทดลองกับผลงานวิจัยของผู้อื่น

ผู้จัด (ปีที่ตีพิมพ์)	รูปแบบ	ขนาดของวิสเกอร์หรือผลึกเดี่ยว MoO_3		
		กว้าง (mm)	ยาว (mm)	หนา (μm)
ปีะนะพ (2002)	Whisker	0.1-1.5	2.0-50.0	3.0-15
Li Jianqiang (2002) ⁽¹²⁾	Whisker	0.01-0.02	10	0.1-0.2
H. C.,Zeng (1998) ⁽²⁾	ผลึกเดี่ยว	1.0-7.0	20-30	100-700

เมื่อเปรียบเทียบขนาดของวิสเกอร์ที่เตรียมได้กับผลงานวิจัยของผู้อื่นดังตารางที่ 5.1 พบว่าขนาดของวิสเกอร์ที่เตรียมได้เดียวกับวิธีการที่ H.C.,Zeng⁽²⁾ ที่เตรียมโดยวิธี growth from vapor phase เพราะว่า H.C.,Zeng ได้จำกัดบริเวณที่เก็บวิสเกอร์ให้เกิดในห้องความชื้นที่ปะลายปิด ขนาดเส้นผ่าศูนย์กลาง 1.2 cm ยาว 3.0 cm ซึ่งจะทำให้ไอของ MoO_3 แพร่กระจายและควบแน่นในบริเวณแคบๆ และใช้เวลาเตรียม 4 วัน ทำให้ผลึกเกิดขึ้นอย่างสม่ำเสมอทำให้ผลึกที่ได้มีขนาดใหญ่ ในขณะที่การวิจัยนี้ไม่ได้จำกัดบริเวณที่เก็บวิสเกอร์โดยปล่อยให้ไอของ MoO_3 ไปควบแน่นได้ทุกจุดในท่อเตาปะลายปิดที่มีเส้นผ่าศูนย์กลาง 6.6 cm ความยาว 125 cm โดยใช้เวลาในการเตรียมวิสเกอร์

24-48 ชั่วโมง เมื่อเปรียบเทียบกับผลงานวิจัยของ Li Jianqiang⁽¹²⁾ พบว่าวิสเกอร์ที่เตรียมได้มีขนาดใหญ่กว่าของ Li Jianqiang⁽¹²⁾ ที่เตรียมโดยวิธี Molybdenum thread oxidation เพราะว่า Li Jianqiang ไม่ได้เตรียมวิสเกอร์จาก MoO₃ โดยตรงแต่ใช้วัตถุเรืองเพียง 1 ชั่วโมง

จะเห็นได้ว่าวิธีการเตรียมวิสเกอร์ในการวิจัยนี้ง่ายกว่าวิธีอื่น และไม่ต้องสร้างอุปกรณ์เพิ่มเติมให้บุกมาก (ใช้ท่อความดันปลายปิดขนาดเด็ก) และใช้เวลาในการเตรียมเพียง 24- 48 ชั่วโมงแต่สามารถเตรียมวิสเกอร์ได้ขนาดความกว้างและความยาวเท่ากับผลึกเดียวที่ H.C.,Zeng และสามารถเตรียมวิสเกอร์ได้จำนวนมาก และมีต้นทุนต่ำ ซึ่งเป็นที่น่าพอใจ

5.2 โครงสร้างของวิสเกอร์

หลังจากเตรียมวิสเกอร์ได้จึงนำไปทดลองวิเคราะห์ทางโครงสร้างของวิสเกอร์ที่เตรียมได้โดยการบดวิสเกอร์แล้วศึกษาด้วยวิธี X-ray diffraction (XRD) พบว่าวิสเกอร์ที่เตรียมได้มีโครงสร้างแบบ orthorhombic มี lattice parameter $a = 3.970 \text{ \AA}$, $b = 13.931 \text{ \AA}$ และ $c = 3.704 \text{ \AA}$ และมี prefer orientation ในพิเศษ (0k0) โดยที่ $k = 2,4,6$ และมีพิคการเดี่ยวบนที่เกิดจากกระนาบอินเซน (110) และ (021) บ้างแม้ความเข้มค่อนข้างมากแสดงว่าเมื่อวัสดุเป็นผงแล้วแต่การวางตัวของสารบน substrate ยังมี orientation ที่แน่นอนเหลืออยู่

ตารางที่ 5.2 แสดงการเปรียบเทียบค่าของ lattice parameter ของ MoO₃ ที่มีโครงสร้างแบบ ออร์ไทรอมบิก ระหว่างวิสเกอร์ที่เตรียมได้กับผลงานวิจัยของผู้อื่น

ผู้วิจัย (ปีที่ตีพิมพ์)	รูปแบบ ของ MoO ₃	Lattice parameter (Å)		
		A	b	c
ปี่ยวนพ (2002)	วิสเกอร์	3.970	13.931	3.704
Li Jianqiang(2002) ⁽¹²⁾	วิสเกอร์	3.963	13.856	3.697
ปี่ยวนพ (2002)	ผง	3.957	13.846	3.700
Yin Xilin (2001) ⁽²⁵⁾	bulk	4.038	13.880	3.737
JCPDS Card No.5-0508 (1967) ⁽²³⁾	ผง	3.962	13.858	3.697

จากการเปรียบเทียบผลการทดลองกับผลงานวิจัยของผู้อื่น powder diffraction files ของ JCPDS และ XRD pattern ของผง MoO₃ พบว่า คำແນ່ງພື້ນ และค่า lattice parameter มีค่าใกล้เคียงกัน

แสดงว่าวิสเกอร์ที่เตรียมได้เป็น พลีกเดียวของ MoO_3 และค่า lattice parameter b ของวิสเกอร์ที่เตรียมได้ค่าคลื่อนประมาณ 0.08 Å เพราะว่าความเข้มของรังสีเอกซ์ที่เลี้ยวเบนจากระนาบที่เกิด prefer orientation มีความเข้มสูงกว่าขั้นจัดของหัวรังสีเอกซ์ในเครื่อง x-ray diffractrometer ซึ่งเป็นเหตุสุคิสัย ทำให้ได้พีคหัวตัวซึ่งทำให้การวัดค่าແหน่งของมุมเลี้ยวเบนมีความคลื่อนประมาณอื่นปะปนมาด้วย เพราะว่าเกิดจาก การเตรียม sample โดยบดวิสเกอร์ซึ่งทำให้ผงวิสเกอร์สามารถถ่วงตัวได้หลายทิศทางและมีระนาบเลี้ยวเบนในทิศทางอื่นได้ จากการวิจัยของ Li Jianqiang⁽¹²⁾ พบว่าลักษณะของวิสเกอร์และใช้วิธี Selective area diffraction พบว่าจะเกิดการเลี้ยวเบนจากระนาบ $(0k0)$ โดยที่ $k = 2,4,6,8,10$ เท่านั้น แสดงว่าลักษณะโครงสร้างของวิสเกอร์ที่เตรียมได้ในงานวิจัยนี้ไม่แตกต่างไปจากที่ Li Jianqiang หรือที่มีผู้อื่นเตรียมได้

5.3 องค์ประกอบของวิสเกอร์

ได้นำวิสเกอร์ที่เตรียมได้ไปวิเคราะห์องค์ประกอบโดยใช้วิธี Energy dispersive spectrometry พบว่าスペกตรัมของการกระจายพลังงานของรังสีเอกซ์มีลักษณะดังรูปที่ 4.8 คือมีเฉพาะพีคที่เกิดจาก โนลิบดินัม และ ออกซิเจนเท่านั้น แสดงว่าวิสเกอร์ที่เตรียมได้มี โนลิบดินัม และ ออกซิเจน เป็นองค์ประกอบเท่านั้น และเมื่อพิจารณาจากผลการวิเคราะห์โครงสร้างของวิสเกอร์เมื่อเปรียบเทียบ XRD pattern ของวิสเกอร์กับผง MoO_3 แล้วปรากฏว่ามีตำแหน่งพีคตรงกันดังนั้นวิสเกอร์ที่เตรียมได้จึงน่าจะเป็นพลีกเดียวของ MoO_3 ที่มีความบริสุทธิ์สูงมาก

5.4 แบบพลังงานของวิสเกอร์

จากการทดลองพบว่าค่า Energy gap ของวิสเกอร์ MoO_3 ที่เตรียมได้โดยวิธี growth from vapor phase ที่อุณหภูมิ 750 °C มีค่า 2.98 eV เมื่อเปรียบเทียบผลการทดลองกับผลงานวิจัยของผู้อื่นที่อยู่ในรูปของฟิล์มนางคั่งตารางที่ 5.3

ตารางที่ 5.3 แสดงผลการเปรียบเทียบค่า Energy gap ที่ได้จากการทดลองกับผลการทดลองของผู้อื่น

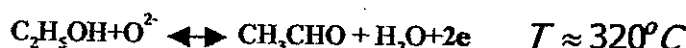
ผู้จัด (ปีที่ตีพิมพ์)	วิปแบบ	E _g (eV)	หมายเหตุ
ปีyanพ (2002)	วิสเกอร์	2.98	เครื่องมือโดยวิธี growth from vapor phase ที่อุณหภูมิ 750 °C
Di Giulio (1998) ⁽¹⁾	พิสเมบาน	2.89	Sputtering ลงบน substrate ที่มีอุณหภูมิ 200 °C
Szekeres (2001) ⁽²⁴⁾	พิสเมบาน	2.75-3.16	ขั้นกับอุณหภูมิที่อบพิสเมบานดังแต่ 200-400 °C

พบว่ามีค่าคลาดเคลื่อนจากผลการทดลองของ Di Giulio⁽¹⁾ เพียงเล็กน้อย และอยู่ในช่วง Energy gap ที่ได้จากการทดลองของ Szekeres⁽²⁴⁾ ซึ่งพบว่าค่า Energy gap จะขึ้นกับอุณหภูมิที่ใช้ในการเตรียมพิสเมบาน เนื่องจากพิสเมบานเตรียมจากวิธี reactive sputtering จากมี้าไม่ถูกคืนน้ำในบรรยายภาพสมของออกซิเจนและอาเรกอน จึงจำเป็นต้องอบพิสเมบานเพื่อกระตุ้นให้ไม่ถูกคืนน้ำออกไซด์เมบานอื่นๆ เช่น MoO₃, MoO₂ เมล่อนเป็น MoO₃ โดยที่ Di Giulio อบพิสเมบานที่อุณหภูมิ 200 °C และ Szekeres อบพิสเมบานที่อุณหภูมิ 200-400 °C ในกระบวนการเตรียมพิสเมบานนี้เตรียมจากการ oxidized ไม่ถูกคืนน้ำให้กล้ายเป็น MoO₃ แต่ไม่สามารถเตรียม MoO₃ ที่บริสุทธิ์ 100 % ได้ อาจจะมีการเชื้อปันของ MoO₃, MoO₂ และ ไม่ถูกคืนน้ำออกไซด์ไฟฟ้าอื่นๆ อันอาจทำให้ค่า Energy gap ต่ำกว่าวิสเกอร์ที่เตรียมได้

วิสเกอร์ที่เตรียมได้ในการทดลองนี้เตรียมจาก MoO₃ โดยครั้ง ชา XRD พบว่ามีแอลเฟส MoO₃ อ่อนเดียวแสดงว่า Energy gap ที่ได้ซึ่งเป็นค่า Energy gap ของ MoO₃ อ่อนเดียวทั้งริบ

5.5 การตรวจวัด ไอของเอธิลแอลกอฮอล์ และ ไอของอะซีโตน

จากการทดลองพบว่าสภาพด้านทานไฟฟ้าของหัววัดวิสเกอร์ MoO₃ จะลดลง⁽²⁶⁾ เมื่อได้รับไอของเอธิลแอลกอฮอล์ และ ไอของอะซีโตน เพราะว่า ไอของเอธิลแอลกอฮอล์ และ ไอของอะซีโตนจะทำปฏิกิริยาร่วมตัวกับยอน化เรนอยอนที่มีศติคักกับผิวน้ำของหัววัดวิสเกอร์ MoO₃ แล้วภายใต้การกรองออกนาคลังสารการ



อีกครองที่ได้จากปฏิกิริยาจะเพิ่มพากะการนำไฟฟ้าบริเวณพื้นผิวของหัววัดวิสเกอร์ MoO₃

ทำให้สภาพด้านท่านไฟฟ้าลดลง

อุณหภูมิที่เหมาะสมสำหรับตรวจไอของเอธิลแอลกอฮอล์ และ ไอของอะซีโนในช่วง อุณหภูมิที่ใช้ในการทดสอบคือ 320°C เพราะว่าสภาพไวของหัววัดมีค่าสูงสุด และ ใช้เวลาตอบสนองน้อยที่สุดประมาณ 7 และ 17 วินาทีตามลำดับและสภาพด้านท่านไฟฟ้าของหัววัดก้าววิสเกอร์ มีค่าต่ำที่สุดประมาณ $10 \text{ k}\Omega\cdot\text{cm}$ ซึ่งมีความสะดวกในการวัดสภาพด้านท่านไฟฟ้าหรือความด้านท่านไฟฟ้า

หัววัดก้าววิสเกอร์ MoO_3 จะเกิดการอิ่มตัวเมื่อได้รับไอของเอธิลแอลกอฮอล์ และ ไอของอะซีโน ที่มีความเข้มข้น 1200 ppm และ 1100 ppm ตามลำดับและสภาพไวสูงสุดสัมพาร์ ณ จุดอิ่มตัว คือ 1.55 และ 1.45 ตามลำดับ (สภาพด้านท่านไฟฟ้าลดลงจากค่าเริ่มต้น 55% และ 45% ตามลำดับ) ความต้านทานระหว่างสภาพไว (S) กับความเข้มข้นของไอของเอธิลแอลกอฮอล์ และ ไอของอะซีโน (C) ค่อนถึงจุดอิ่มตัวที่อุณหภูมิ 320°C เป็นแบบเชิงเส้น ได้แก่ $S = (4.66 \times 10^{-4})C + 1.01$ และ $S = (3.50 \times 10^{-4})C + 1.00$ ตามลำดับ ใช้วัดความเข้มข้นของไอของเอธิลแอลกอฮอล์ และ ไอของอะซีโน ที่มีความเข้มข้นไม่เกิน 1200 ppm และ 1100 ppm ให้ซึ่งเหมาะสมสำหรับใช้ในการตรวจสอบระดับแอลกอฮอล์ในลมหายใจของผู้ขับขี่ว่า เกินจากระดับที่กฎหมายกำหนดหรือไม่ ซึ่งความเข้มข้นของแอลกอฮอล์ที่กำหนดไว้ตามกฎหมายคือ ต้องไม่เกิน 50 mg \% ในโลหิต หรือ คิดเป็น 200 ppm ในลมหายใจ⁽²⁶⁾

ตารางที่ 5.4 แสดงการเปรียบเทียบระหว่าง หัววัดก๊าซวิสเกอร์ MoO₃ กับ Organic vapor gas sensor ของบริษัท Figaro Inc. model TGS 822 (หัววัด Figaro TGS 822)^(6,27)

หัวขอ	หัววัดก๊าซวิสเกอร์ MoO ₃	Organic vapor sensor ของ บริษัท Figaro Inc. model TGS 822 ^(6,26)
ตัวครัววัด	วิสเกอร์ MoO ₃	ฟิล์มนาง Polycrystalline SnO ₂ ที่ dope ด้วย Pd
ชี้ไฟฟ้า	Silver paint	Pt-IDC structure แบบ Inter finger
อุณหภูมิที่เหมาะสมในการตรวจวัด ไอของเอธิลแอลกอฮอล์ และ ไอของอะเซตีโนน	320 °C	250-275 °C
สภาพไวค่อเอธิลแอลกอฮอล์ 1200 ppm (rel. unit)	1.55	2.53
สภาพไวค่ออะเซตีโนน 1100 ppm (rel. unit)	1.45	3.11
เวลาการตอบสนองค่อ ไอของ เอธิลแอลกอฮอล์ (sec)	17	30
เวลาการตอบสนองค่อ ไอของ อะเซตีโนน (sec)	7	30
ความต้านทานไฟฟ้าเริ่มต้น	10 MΩ	10-15 kΩ
ความสัมพันธ์ระหว่างสภาพไว กับความเข้มข้นของ เอธิลแอลกอฮอล์	linear	exponential
ความสัมพันธ์ระหว่างสภาพไว กับความเข้มข้นของอะเซตีโนน	linear	exponential

ตารางที่ 5.5 แสดงการเปรียบเทียบระหว่าง หัววัดก๊าซวิสเกอร์ MoO₃ กับ Solvents detector ของ
บริษัท FIS Inc. model SP-31 (หัววัด FIS SP-31)^(6,28)

หัวข้อ	หัววัดก๊าซวิสเกอร์ MoO ₃	Solvents detector ของบริษัท FIS Inc. model SP-31 ^(6,27)
ตัวตรวจวัด	วิสเกอร์ MoO ₃	พิล์มหนา Polycrystalline SnO ₂
ขั้วไฟฟ้า	Silver paint	Au-IDC structure แบบ Inter finger
อุณหภูมิที่เหมาะสมในการตรวจวัด ไอของเอธิลแอลกอฮอล์ และ ไอของอะเซตีน	320 °C	275 °C
สภาพไวต่อเอธิลแอลกอฮอล์ 1200 ppm (rel. unit)	1.55	2.85
สภาพไวต่ออะเซตีน 1100 ppm (rel. unit)	1.45	1.42
เวลาการตอบสนองต่อ ไอของ เอธิลแอลกอฮอล์ (sec)	17	5
เวลาการตอบสนองต่อ ไอของ อะเซตีน (sec)	7	5
ความต้านทานไฟฟ้าเริ่มต้น	10 MΩ	0.5-2 kΩ
ความสัมพันธ์ระหว่างสภาพไว กับความเข้มข้นของ เอธิลแอลกอฮอล์	linear	exponential
ความสัมพันธ์ระหว่างสภาพไว กับความเข้มข้นของอะเซตีน	linear	exponential

เมื่อเปรียบเทียบผลการทดลองกับหัววัด Figaro TGS 822^(6,27) และ หัววัด FIS model SP-31⁽²⁸⁾ ที่มีขายในท้องตลาดและใช้เป็นหัววัดความเข้มข้นของก๊าซในการทดลองนี้พบว่าอุณหภูมิที่เหมาะสมสำหรับการตรวจวัด ไอของเอธิลแอลกอฮอล์และ ไอของอะเซตีนของหัววัดวิสเกอร์ MoO₃ สูง

ที่มีขายในห้องทดลองและใช้เป็นหัวดัดความเข้มข้นของก๊าซในการทดลองนี้พบว่าอุณหภูมิที่เหมาะสมสำหรับการตรวจสอบ ไอของเอธิลแอลกออล์และ ไอของอะซีโคนของหัววัดวิสเกอร์ MoO₃ สูงกว่า หัววัด Figaro TGS 822 และ หัววัด FIS model SP-3 อยู่เดือนน้อย ดังตารางที่ 5.4 และ 5.5 เพราะหัววัด Figaro TGS 822 มีการ dope ธาตุที่เป็นตัวนำไฟฟ้าและความร้อนได้ดีเท่านั้น แพลตตินัม ลงไปทำ และหัววัด FIS model SP-3 มีการนำทองคำชุบนำไฟฟ้าและนำความร้อนได้ดีมาทำเป็นชั้นไฟฟ้า จนเดิมพื้นที่บนผิวน้ำของฟิล์มหนา SnO₂

เมื่อพิจารณาการเปลี่ยนแปลงของสภาพด้านทันทนาไฟฟ้าจากสภาพไวوض่าว่าหัววัดก้าววิสเกอร์ MoO₃ มีการเปลี่ยนแปลงสภาพด้านทันทนาไฟฟ้าสูงสุดต่อไอของเอธิลแอลกออล์ ที่มีความเข้มข้น 1200 ppm และ ไอของอะซีโคนที่มีความเข้มข้น 1100 ppm มีค่า 55% และ 45% ตามลำดับ ในขณะที่ Figaro TGS 822 มีการเปลี่ยนแปลง 153% และ 211% และ หัววัด FIS model SP-3 มีการเปลี่ยนแปลง 285% และ 182% ดังตารางที่ 5.4 และ 5.5 เพราะว่าวิสเกอร์ MoO₃ เป็นผลึกเดียวที่สมบูรณ์ แต่ Figaro TGS 822 อยู่ในรูปปิล์มนบาง polycrystalline Pd doped-SnO₂ และ หัววัด FIS model SP-31 อยู่ในรูปปิล์มนหนา ซึ่งจะมีสัดส่วนของพื้นที่ผิวน้ำต่ออัตราสารมากกว่าทำให้ปริมาณ oxygen vacancies มากกว่าวิสเกอร์ MoO₃ และก้าวที่วัดสามารถแพะรึเปลี่ยนเข้าไปในหัววัดได้ดีกว่า

เมื่อพิจารณาเวลาการตอบสนองพบว่าหัววัดที่เตรียมได้ในงานวิจัยนี้ใช้เวลาในการตอบสนองกับไอของเอธิลแอลกออล์ และ ไอของอะซีโคนน้อยกว่าหัววัด Figaro TGS 822 แต่มากกว่าหัววัด FIS model SP-31 เพราะหัววัด FIS model SP-31 ใช้ทองคำเป็นชั้นไฟฟ้าซึ่งทองคำมีสภาพนำไปไฟฟ้าได้ดีกว่า แพลตตินัม และ ชิลเวอร์เพนท์ และทองคำยังช่วยลดกำแพงสักย์ระหว่างหัววัดวิสเกอร์ SnO₂ กับชั้นไฟฟ้าให้ต่ำลงดังนั้นจึงทำให้หัววัด FIS model SP-31 มีการตอบสนองได้เร็วมาก

เมื่อพิจารณาค่าความด้านทันทนาไฟฟ้าเริ่มต้นของหัววัดวิสเกอร์ MoO₃ สูงกว่าความด้านทันทนาไฟฟ้าเริ่มต้นของหัววัด Figaro TGS 822 และหัววัด FIS model SP-31 เพราะว่าหัววัด Figaro TGS 822 มีการ dope ธาตุพัลลาเดียม(Pd) ซึ่งเป็นตัวนำไฟฟ้า ลงใน Figaro TGS 822 ทำให้ความด้านทันทนาไฟฟ้าต่ำลง และเพราะว่าหัววัด FIS model SP-31 ใช้ทองคำเป็นชั้นไฟฟ้าแบบ inter finger structure โดยมีระยะห่างระหว่างชั้นไฟฟ้าน้อยกว่าชั้นไฟฟ้า Pt-IDC structure ของหัววัด Figaro TGS 822 ซึ่งทำให้ด้านทันทนาไฟฟ้าเริ่มต้นของหัววัด FIS model SP-31 มีค่าต่ำที่สุด

เมื่อพิจารณาการเปลี่ยนแปลงของสภาพไว้เมื่อได้รับ ไอของเอธิลแอลกออล์และ ไอของอะซีโคนพบว่าหัววัดก้าววิสเกอร์ MoO₃ มีความสัมพันธ์ระหว่างสภาพไวกับความเข้มข้นของไอของเอธิลแอลกออล์ และ ไอของอะซีโคนเป็นแบบเชิงเส้นซึ่งหมายความและตะแคงในการใช้งานในขณะที่หัววัด Figaro TGS 822 และ หัววัด FIS model SP-31 มีความสัมพันธ์แบบเอกซ์โพเนนเชียล

จากการเปรียบเทียบผลการตรวจจับก๊าซสรุปได้ว่าหัววัดก๊าซวิสเกอร์ MoO₃ มีข้อได้เปรียบหัววัด Figaro TGS 822 และ หัววัด FIS model SP-31 คือ

- 1.ใช้เวลาการตอบสนับ ไอของออกไซด์แอลกอฮอล์ และ ไอของอะซีโตนน้อยกว่าหัววัด Figaro TGS 822
 2. สภาพไม่มีความตันพันธ์กับความเข้มข้นของ ไอเย็นแบบเชิงเดี่ยงซึ่งจะมีความสะดวกในการใช้งานกว่าหัววัด Figaro TGS 822 วิธีการเตรียมหัววัด
 3. ขั้นตอนการสร้างหัววัดวิสเกอร์ MoO₃ ไม่ยุ่งยากและมีต้นทุนในการสร้างต่ำกว่าหัววัด Figaro TGS 822 และ หัววัด FIS model SP-31
- หัววัดก๊าซวิสเกอร์ MoO₃ มีข้อเสียเปรียบหัววัด Figaro TGS 822 คือ
1. ความด้านทานไฟฟ้าเริ่มต้นมีค่าสูงกว่าหัววัด Figaro TGS 822 และ หัววัด FIS model SP-31
 2. สภาพไวต่ำกว่าหัววัด Figaro TGS 822 และ หัววัด FIS model SP-31

5.6 ข้อเสนอแนะ

- 1) จากการเปรียบเทียบผลการทดลองกับผลการตรวจจับก๊าซของหัววัดก๊าซ Figaro TGS 822 และ หัววัด FIS model SP-31 พบว่าควรจะปรับปรุงหัววัดก๊าซวิสเกอร์ MoO₃ ให้มีสภาพไม่อื้นตัวซึ่นด้วยการเพิ่มจำนวน Oxygen vacancies อาจจะทำด้วยการบดวิสเกอร์ให้ละเอียดแล้วผสมกับสารละลายบิวทิลอะซีเตท (สารละลายที่ใช้ผสม silver paint) และทาลงบนแผ่น cover slide ให้เป็นเส้นบางๆ นำไปป้อนให้แห้งสารละลายบิวทิลอะซีเตทจะทำให้ผงวิสเกอร์ยึดติดกับแผ่น cover slide ได้หากนี้ใช้ silver paint ตามเส้นบนบานดานความยาวของเส้นของผงวิสเกอร์ MoO₃ เพื่อทำเป็นขี้ไฟฟ้า ซึ่งจะทำให้หัววัดไม่เกิดการอิ่มตัวแม้ว่าความเข้มข้นของ ไอของออกไซด์แอลกอฮอล์และ ไอของอะซีโตนจะมีค่าสูง
- 2) การเพิ่มสภาพไฟอาจจะทำได้โดยการออกแบบฝ่าครอบหัววัดและใส่ heater ขนาดเล็กเข้าไปในฝ่าครอบให้มีลักษณะเดียวกันกับ gas sensor Figaro TGS 822 (คุณภาพละเอียดในภาคผนวก บ.) เพื่อกักก๊าซเอาไว้ในฝ่าครอบ และอาศัยแรงดันอากาศที่เกิดจากความร้อนของ heater ผลักดันให้ก๊าซแทรกซึมเข้าทำปฏิกิริยา กับหัววัดมากขึ้น
- 3) การลดความด้านทานไฟฟ้าเริ่มต้นอาจจะทำได้โดยการ dope โลหะเข่น ถิ่นที่มี พัลลาเดียม ลงไป หรือ ใช้ลายวงจรแบบ Inter finger structure ช่วยเพิ่มพื้นที่หน้าตัดในการนำไฟฟ้า